

افزاره آی ماس با ساختار نوار مهندسی شده (ناهمگون)

حمیده گذازگر، محمدکاظم مرتعش فرشی و مرتضی فتحی‌پور

کاهش در اندازه V_T باید کندرت یا برابر با آهنگ کاهش در V_{DD} باشد. با توجه به این که شبیه‌سازی شده است. با توجه به این که ناحیه ذاتی در کار نفوذ حامل‌ها از سورس به درین محدود می‌شود و این ساز و کار به نوبه خود مشمول محدودیت ترمودینامیکی است، جریان آن به ازای $V_G = 0$ از رابطه زیر تعیت می‌کند [۲]

$$I_D(V_G = 0) = I_D(V_G = V_T) \exp \frac{-V_T}{S} \quad (2)$$

این جریان به عنوان جریان نشتی ترانزیستور معروف است. با توجه به مطالب پیش‌گفته درباره رابطه کاهش ولتاژ‌های راهانداز و آستانه به کوچکسازی ابعاد تراشه‌ها و همچنین (۲) می‌توان دریافت که جریان نشتی و در نتیجه توان تلفشده در یک تراشه با کاهش ابعاد آن به صورت نمایی افزایش می‌یابد. برای اجتناب از این امر باید ترفندهایی اندیشید تا با آن بتوان همراه با کاهش V_T به خاطر کوچکسازی، شبیه‌سازی شده را نیز کاهش داد.

گپاکرشنان و همکاران [۲] برای اولین بار در سال ۲۰۰۲، افزاره آی ماس^۱ (IMOS) را با شبیه‌سازی حدود ۵ mV/dec ارائه کردند. آی ماس یک دیود $p-i-n$ دارای گیت است که فقط بخشی از ناحیه ذاتی (کانال) را می‌پوشاند. به عبارت دیگر بخشی از کانال که بین سورس (p) و درین (n یا p) قرار دارد زیر گیت قرار نمی‌گیرد. ساز و کار تولید حامل در این افزاره یونش برخوردی^۲ در کانال است [۲]. در یک آی ماس با اعمال بایاس V_G به گیت می‌توان میدان بین سورس و کانال را کنترل کرد. به ازای مقادیر کوچک V_G ، لایه وارون زیر گیت تشکیل نمی‌شود و در نتیجه طول مؤثر کانال برابر با طول تمام ناحیه ذاتی است. در این حالت بخش کوچکی از بایاس V_{DS} بر دو سر ناحیه ذاتی بدون گیت می‌افتد. با افزایش تدریجی V_G لایه وارون زیر گیت تشکیل شده و طول مؤثر کانال کاهش می‌یابد. به این ترتیب، بخش بزرگ‌تری از V_{DS} به ناحیه ذاتی بدون گیت تخصیص می‌یابد تا این که به ازای $V_G \geq V_T$ سهم تخصیص یافته به اندازه‌ای می‌رسد که یونش برخوردی در این ناحیه آغاز می‌شود [۴]. بنابراین اندازه ولتاژ درین-سورس V_{DS} لازم برای روش کردن آن از طریق یونش برخوردی بزرگ است. در حالی که با کوچکشدن ابعاد باید این ولتاژ هم کوچک شود و این امر خود یکی از چالش‌های پیش روی آی ماس است [۵]. از جمله دیگر چالش‌های پیش روی این افزاره قابلیت اطمینان و ناپایداری ولتاژ آستانه آن در اثر یونش برخوردی است [۶].

تا کنون گروه‌های مختلفی برای بهبود ساختار آی ماس تلاش کرده‌اند [۵] تا [۱۱]. از جمله، گروهی ساختار آی ماس عمودی [۷] و گروهی دیگر آی ماس با ناحیه ذاتی L شکل [۸] را ارائه داده‌اند. در این دو ساختار سعی شده است تا محل تولید بیشینه حامل از لبه گیت دور نگه داشته شود. همچنین چوی و همکاران [۱۲] روش جدیدی برای بایاس کردن افزاره را ارائه کرده‌اند. در این روش به جای صفر کردن بایاس سورس، بسته به این

چکیده: الگوی جدیدی برای افزاره آی ماس با ساختار نوار مهندسی شده (ناهمگون) پیشنهاد و شبیه‌سازی شده است. با توجه به این که ناحیه ذاتی در یک آی ماس نقش کنترل‌کننده فرایند تولید زنی نوار به نوار را ایفا می‌کند و ساز و کار غالب تولید حامل درون این ناحیه یونش برخوردی است، در الگوی پیشنهادی فرض شده که ماده تشکیل‌دهنده ناحیه ذاتی از جنس Si_xGe_{1-x} باشد و اندازه گاف نوار آن از اندازه گاف Si در لبه سورس تا گاف Si_xGe_{1-x} در لبه گیت به طور خطی تغییر کند. این امر سبب می‌شود تا بزرگ‌ترین اختلاف در گاف نوار الگوی پیشنهادی برابر $\Delta E_G = \Delta E_C = +0.32\text{eV}$ در فصل مشترک سورس و ناحیه ذاتی پدیدار شود و از احتمال وقوع تولید زنی نوار به نوار در نتیجه از اندازه جریان خاموش بکاهد. نتایج عددی نشان می‌دهد ولتاژ شکست برای آی ماس ناهمگون پیشنهادی نسبت به یک ساختار آی ماس همگون از جنس Si_xGe_{1-x} با ابعاد مشابه، به اندازه ۷^۳ با ابعاد مشابه، به اندازه ۰^۳ و جریان خاموش آن حدود چهار برابر کاهش یافته است.

کلیدواژه: آی ماس، تولید زنی نوار به نوار، ولتاژ شکست، یونش برخوردی، نسبت جریان روشن به خاموش.

۱- مقدمه

یکی از اهداف مهم در طراحی افزاره‌های الکترونیک، کوچکسازی^۳ ابعاد آنها است. به خاطر غالبدون ساز و کار نفوذ حامل در هدایت زیرآستانه^۴ ترانزیستورهای ماسفت، حد پایین شبیه‌سازی آستانه آنها در دمای اتاق برابر با ۶۰ mV/dec است [۱]. این به معنای گذاری آرام از حالت خاموش به روشن است و در روند کوچکسازی ماسفت‌ها به منظور دستیابی به نسبت جریان روشن به خاموش زیاد، چالشی جدی تلقی می‌شود [۲]. همراه با کوچکسازی ابعاد ترانزیستورها لازم است منابع ولتاژ راهانداز آنها (V_{DD}) نیز کاهش یابد. جریان راهانداز یک سی ماس^۵ پیشرفتی به ازای هر میکرومتر از عرض آن از رابطه زیر تعیت می‌کند [۳]

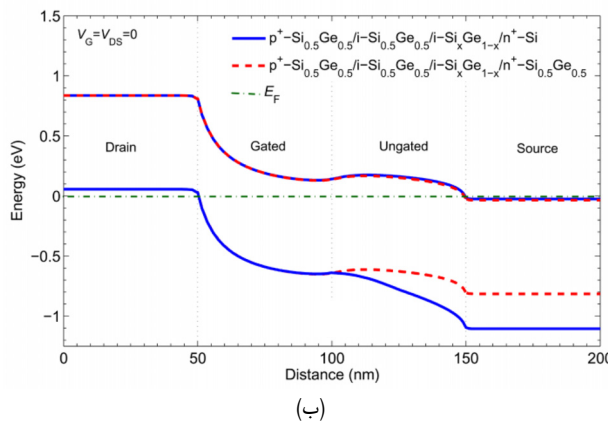
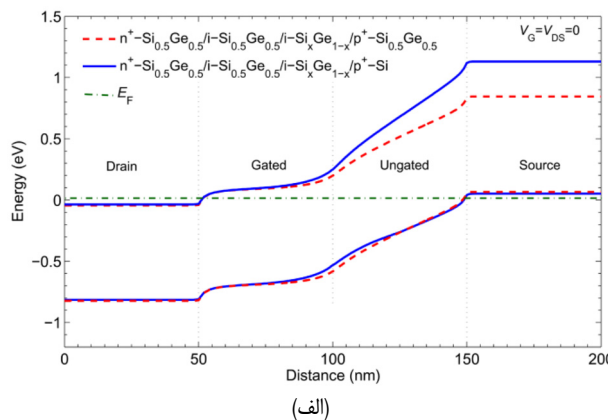
$$I_{DSat} = KC_{ox}(V_{DD} - V_T)^\alpha \quad (1)$$

که در آن K ثابت تناسب، C_{ox} ظرفیت خازن اکسید گیت، $2 < \alpha < 1$ پارامتر فیت وابسته به طول کانال و V_T ولتاژ آستانه است. از این معادله می‌توان دریافت که برای ثابت نگه داشتن یا افزایش جریان، آهنگ

این مقاله در تاریخ ۲۲ مهر ماه ۱۳۹۲ دریافت و در تاریخ ۲۳ فروردین ماه ۱۳۹۶ بازنگری شد.

حمیده گذازگر، دانشکده مهندسی برق و کامپیوتر، دانشگاه تربیت مدرس، تهران، email: hamide.godazgar@gmail.com) محمدکاظم مرتعش فرشی، دانشکده مهندسی برق و کامپیوتر، دانشگاه تربیت مدرس، تهران، email: moravvej@modares.ac.ir)، مرتضی فتحی‌پور، گروه الکترونیک، دانشکده مهندسی برق و کامپیوتر، دانشگاه تهران، تهران، email: mfathi@ut.ac.ir).

1. Scaling
2. Subthreshold
3. MOSFET
4. CMOS

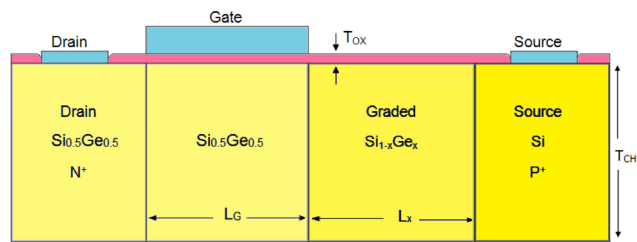


شکل ۲: مقایسه نمودار نوارهای انرژی ساختار ناهمگون (خط ممتد) و آی ماس همگون $Si_{0.5}Ge_{0.5}$ (خطچین) در حالت تعادل حرارتی (الف) نوع n و (ب) نوع p .

تشکیل دهنده بخش کanal زیر گیت و درین $Si_{0.5}Ge_{0.5}$ است. دلیل انتخاب این ماده برای ناحیه زیر گیت اندازه بزرگ قابلیت حرکت حاملهای آن است در حالی که مهندسی ساختار نوار انرژی بخش عاری از گیت کanal برای مدیریت ساز و کار تونلزنی نوار به نوار بین سورس و بخش زیر گیت کanal انجام شده است. ساختار نمایش داده شده در شکل ۱ با توجه به نوع سورس (p^+) و درین (n^+), به آی ماس نوع n معروف است. برخلاف آی ماس نوع n در آی ماس نوع p ناحیه سورس از نوع n^+ و ناحیه درین از نوع p^+ است. برای کمینه سازی جریان نشستی از درین و همچنین از سورس به بدنه ساختار آی ماس معمولاً بر روی یک بستر^۱ عالیق بنناهاده می شود [۱۰]. ابعاد هندسی برای ساختار پیشنهادی همراه با پارامترهای فیزیکی استفاده شده در شبیه سازی در جدول ۱ نمایش داده شده است. اکسید گیت از جنس SiO_2 و نیم رخ توزیع آلیش نواحی سورس و درین برای تزدیک بودن به واقعیت به صورت گوئی در نظر گرفته شده است.

۳- ساختار نوار انرژی در تعادل حرارتی

قبل از هر چیز، ابتدا نمودارهای ساختار نوار انرژی^۲ آی ماس پیشنهادی با پیوندهای ناهمگون از نوع n و p را با نمودارهای متناظر برای آی ماس همگون از جنس $Si_{0.5}Ge_{0.5}$ در تعادل حرارتی ($V_G = V_{DS} = 0$) مقایسه می کنیم. این مقایسه در شکل ۲ نمایش داده شده است. در شکل ۲-الف نمودار ساختار نوار انرژی افزاره ناهمگون نوع n در حالت تعادل حرارتی با خط ممتد و نمودار ساختار نوار انرژی



شکل ۱: شماتی ساده ای از ساختار پیشنهادی آی ماس با نوار انرژی مهندسی شده نوع n .

جدول ۱: پارامترهای هندسی و فیزیکی به کار رفته در شبیه سازی ساختار پیشنهادی.

نام	واحد	اندازه	واحد
L_G	نام	طول کanal گیت دار	nm
L_x	نام	طول کanal عاری از گیت	nm
T_{CH}	نام	ضخامت (عمق) کanal	nm
T_{Box}	نام	ضخامت اکسید بستر	nm
T_{ox}	نام	ضخامت اکسید گیت	nm
ε_{ox}	-	قابلیت دی الکتریک اکسید گیت	۳/۹
N_{max}	cm ^{-۳}	پیشنهادی آلیش سورس و درین	۱۰ ^{۱۰}

که از نوع n یا p باشد به آن بایاس مشیت یا منفی اعمال می شود. به این ترتیب اختلاف پتانسیل سورس و کanal افزایش یافته و افزاره با V_{DS} کوچکتری به شکست می رسد.

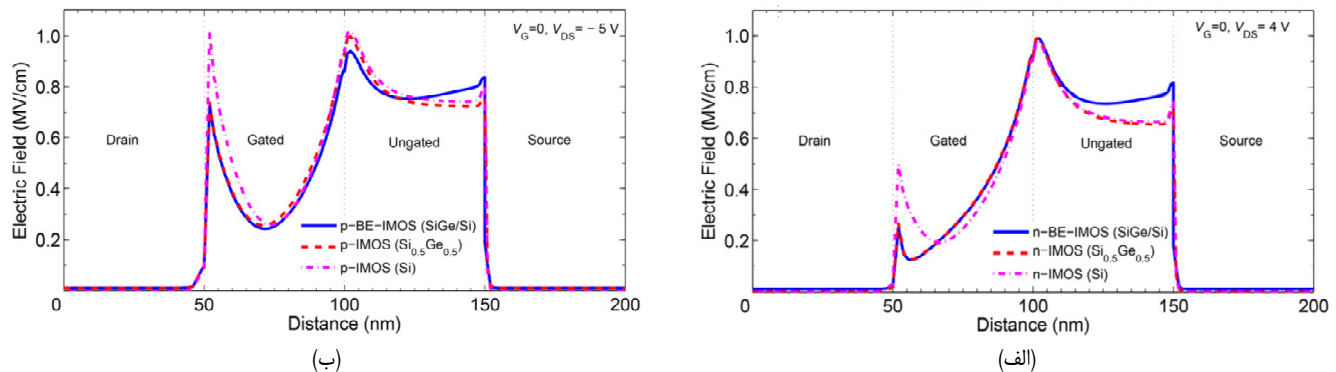
در این مقاله، یک آی ماس با ساختار نوار انرژی مهندسی شده (BE-IMOS) (ساختار ناهمگون)^۳ (شکل ۱) ارائه داده ایم. این ساختار ناهمگون به گونه ای طراحی شده است تا گاف انرژی^۴ در بخشی از کanal یعنی از سورس تا لبه گیت به صورت شیبدار کاهش یابد. به عبارت دیگر ماده تشکیل دهنده این ناحیه به تدریج از Si به $Si_{0.5}Ge_{0.5}$ تغییر یابد. این طراحی سبب شده تا هم احتمال تونل زنی نوار به نوار (BTBT) و هم ولتاژ شکست نسبت به آی ماس های پیشین [۱۱] و [۱۳]^۵ کاهش یابد.

در بخش های بعد به ترتیب به ارائه ساختار ناهمگون پیشنهادی، بررسی تفصیلی پارامترهای استفاده شده در شبیه سازی، تشریح چگونگی عملکرد افزاره، ارائه مشخصه الکتریکی، ولتاژ شکست و جریان خاموش آن می پردازیم و آن را با ساختارهای همگون^۶ از جنس Si و $Si_{0.5}Ge_{0.5}$ مقایسه می کنیم.

۲- آی ماس پیشنهادی با ساختار ناهمگون

شکل ۱ شماتی دو بعدی ساده ای از ساختار ناهمگون پیشنهادی را نشان می دهد. همان طور که در شکل مشاهده می شود، تفاوت اساسی این ساختار پیشنهادی با ساختارهای همگون پیشین در گاف انرژی ماده تشکیل دهنده ناحیه ذاتی بدون گیت و گاف ناحیه سورس است. در مقدمه نیز اشاره شد که ماده سورس Si و ماده تشکیل دهنده ناحیه ذاتی بدون گیت $Si_{0.5}Ge_{1-x}$ است. اندازه ضریب مولی x از لبه گیت تا لبه سورس به طور تدریجی و به صورت خطی از یک به نیم و در نتیجه اندازه گاف انرژی مربوط نیز به طور خطی از $1/12$ eV به $1/12$ eV کاهش می یابد. به عبارت دیگر و همان طور که در شکل ۱ مشاهده می شود، ماده

1. Band Engineered-IMOS
2. Heterostructure
3. Energy Gap
4. Band to Band Tunneling
5. Homojunctions (Homojunctions)



شکل ۳: مقایسه نمودار میدان الکتریکی در آی ماس ناهمگون (ممتد) با نمودارهای مشابه در آی ماس‌های همگون $Si_{0.5}Ge_{0.5}$ (خطچین) و Si (خط نقطه) با بایاس گیت $= 0$ برای (الف) نوع n به ازای $V_{DS} = -5V$ و (ب) نوع p به ازای $V_{DS} = 4V$

جدول ۲: مقایسه ولتاژهای شکست، آستانه، جریان‌های روشن و خاموش برای آی ماس‌های همگون Si و $Si_{0.5}Ge_{0.5}$ و ناهمگون پیشنهادی با ابعاد مشابه.

آی ماس ناهمگون				آی ماس همگون				$ V_G $ (V)
p	n	p	n	p	n	I_{ON} (A/ μm)	I_{OFF} (A/ μm)	
۵/۲۶	-۴/۳	۵/۲۷	-۴/۶۴	۶/۶۵	-۶/۴۵	.	.	V_{BD}
۵/۰۹	-۴/۰۷	۵/۱	-۴/۴۲	۶/۵	-۶/۲۷	۰/۳	۰/۳	V_T (V)
۴/۹۳	-۳/۹۳	۴/۹۳	-۴/۳	۶/۳۵	-۶/۱	۰/۵	۰/۵	I_{ON}
-۰/۱۶	۰/۱۴	-۰/۱۸	۰/۱۴	-۰/۱۹	۰/۱۷	۰/۱۷	۰/۱۷	I_{OFF}
$5/5 \times 10^{-4}$	$9/4 \times 10^{-4}$	$6/4 \times 10^{-4}$	$8/7 \times 10^{-4}$	$6/4 \times 10^{-4}$	$9/3 \times 10^{-4}$			
$5/4 \times 10^{-3}$	$1/5 \times 10^{-3}$	$1/3 \times 10^{-3}$	$5/7 \times 10^{-3}$	$1/3 \times 10^{-3}$	$1/3 \times 10^{-3}$			

به گونه‌ای طراحی شود تا اندازه V_{BD} مقدارش کمینه شود. از طرف دیگر در یک افزاره با پیوندهای همگون هرچه اندازه گاف انرژی کوچک‌تر باشد. احتمال وقوع پدیده شکست بهمنی در یک بایاس معین بیشتر می‌شود. در نتیجه، میدان مورد نیاز برای تولید زوج الکترون-حفره کمتر است و شکست بهمنی به ازای بایاس کوچک‌تری رخ می‌دهد. به همین سبب اندازه ولتاژ شکست آی ماس همگون ساخته شده از Si بزرگ‌تر از اندازه متناظر برای آی ماس همگون از جنس $Si_{0.5}Ge_{0.5}$ با ابعاد یکسان است. مقایسه ولتاژهای شکست آی ماس‌های مشابه با ابعاد مشابه در شکل ۱ در جدول ۲ آمده است. با توجه به این که در تمام شیوه‌سازی‌های انجام‌شده $V_D = 0$ در نظر گرفته شده است در نتیجه ولتاژ شکست با ولتاژ اعمال شده به سورس تعیین می‌شود (یعنی $V_{BD} = V_S$). مقادیر ولتاژهای شکست حاصل از شبیه‌سازی برای افزارهای ناهمگون نوع n و p با ابعاد داده شده در شکل ۱ نیز در جدول ۲ آمده است.

مقایسه اندازه ولتاژهای شکست افزارهای نوع n نشان می‌دهد $|V_{BD}|$ برای آی ماس نوع n با پیوندهای ناهمگون، نسبت به اندازه‌های مربوط به آی ماس‌های همگون ساخته شده از Si و $Si_{0.5}Ge_{0.5}$ به ترتیب $2/15$ و $2/34$ ولت کوچک‌تر است. این مقایسه نشان می‌دهد مهندسی گاف انرژی آی ماس ناهمگون از کوچک‌سازی اندازه گاف ساختار همگون در کاهش ولتاژ شکست افزاره نقش مؤثرتری دارد زیرا مهندسی گاف در ناحیه ذاتی بدون گیت صورت گرفته است. از طرفی این ناحیه نقش بسیار مهمی در عملکرد افزاره آی ماس ایفا می‌کند و در واقع، این ناحیه محل وقوع یونش برخورده حاملها است.

در شکل ۳ توزیع میدان‌های الکتریکی برای سه افزاره ناهمگون (خط ممتد)، همگون از جنس $Si_{0.5}Ge_{0.5}$ (خطچین) و Si (خط نقطه) نوع n به ازای ولتاژ معین $V_{DS} = 4V$ و نوع p به ازای ولتاژ معین $V_{DS} = -5V$ مقایسه شده است. در شکل ۳-الف دیده می‌شود که

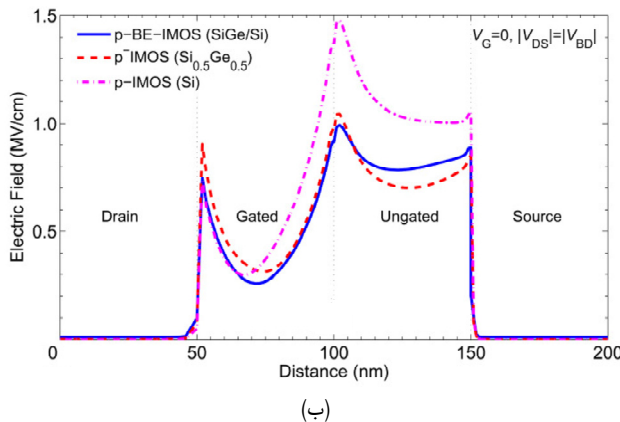
آی ماس‌های همگون از جنس $Si_{0.5}Ge_{0.5}$ با ابعاد مشابه نیز با خطچین نمایش داده شده است. نمودارهای متناظر برای افزارهای ناهمگون نوع p و همگون از جنس $Si_{0.5}Ge_{0.5}$ - p نیز در شکل ۲-ب با هم مقایسه شده‌اند. همان‌گونه که در این مقایسه دیده می‌شود حامل‌ها در لبه سورس و سراسر ناحیه ذاتی بدون گیت ساختار ناهمگون با گاف از رژیم بزرگ‌تری نسبت به ساختار همگون مواجه‌اند. بنابراین انتظار می‌رود با مهندسی گاف انرژی احتمال تونل‌زنی نوار به نوار در ساختار ناهمگون نسبت به احتمال بروز این پدیده در افزاره همگون کاهش یابد. در این باره در بخش مربوط به جریان خاموش به تفصیل بحث خواهد شد.

۴- کارکرد افزاره

در این بخش مشخصه‌های جریان روشن و خاموش در نقطه کار و تبعیت آنها از ولتاژ شکست ترانزیستور ارائه، تجزیه و تحلیل می‌شود. اندازه بایاس درین-سورس ($|V_{DS}|$) اعمالی در یک آی ماس در نقطه کار باید به ولتاژ شکست آن نزدیک و همواره از اندازه آن ($|V_{BD}|$) کوچک‌تر باشد. در این مقاله نقطه کار $|V_{DS} - V_{BD}| = 0/1$ V در نظر گرفته شده است. قبل از بررسی مشخصه‌های روشن و خاموش به بررسی ولتاژ شکست ساختارهای گوناگون آی ماس و تبعیت آنها از اندازه V_G می‌پردازیم.

۴- ولتاژ شکست

در یک افزاره آی ماس، ولتاژ شکست (V_{BD}) برابر اندازه‌ای از V_{DS} است که به ازای آن افزاره به شکست بهمنی می‌رسد. چون بایاس نقطه کار یک آی ماس معمولاً در حوالی ولتاژ شکست آن انتخاب می‌شود، این ولتاژ یکی از ویژگی‌های بسیار مهم آی ماس است. یعنی یک آی ماس باید



(ا)

شکل ۴: نمودار مقایسه نمودار میدان الکتریکی در آی ماس ناهمگون (ممتد) با نمودارهای مشابه در آی ماس های همگون $Si_{0.5}Ge_{0.5}$ (خط پیچن) و Si (خط نقطه) به ازای بایاس های $V_G = 0$ و $|V_{DS}| = |V_{BD}|$ برای (الف) نوع n و (ب) نوع p .

می توان گفت که برآیند تغییرات میدان الکتریکی در این ناحیه برای این دو ساختار سبب می شود که ولتاژ شکست آنها تفاوت چندانی با یکدیگر نداشته باشند.

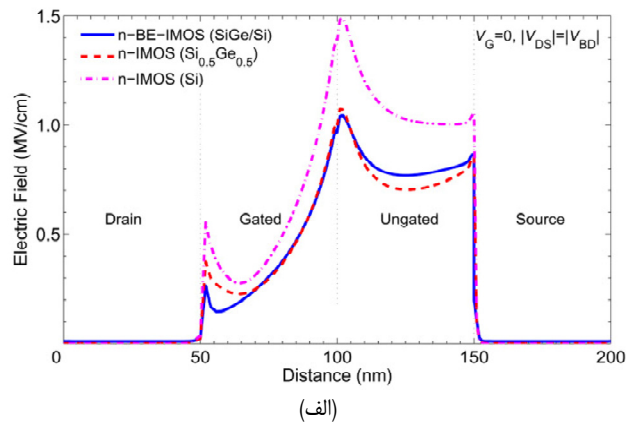
شکل ۴ نمودارهای توزیع میدان های الکتریکی را برای هر سه افزاره به ازای بایاس ولتاژ شکست هر کدام ($V_{DS} = V_{BD}$) و بایاس گیت صفر ($V_G = 0$) نشان می دهد. همان طور که دیده می شود اندازه سطح زیر هر منحنی بیانگر اندازه ولتاژ شکست افزاره مربوط است.

اینکه به بررسی اثر اندازه بایاس گیت روی ولتاژ شکست آی ماس های نوع n و p پیشنهادی می پردازیم. شکل ۵ نمودار تغییرات $|V_{BD}|$ بر حسب $|V_G|$ را برای دو ساختار ناهمگون نوع n ($V_G < 0$) و p ($V_G > 0$) را برای $|V_{DS}| = 0.5$ V نشان می دهد. همان طور که در این شکل دیده می شود با افزایش $|V_G|$ برای هر دو ساختار اندازه ولتاژ شکست کاهش می یابد. با افزایش اندازه ولتاژ گیت، میدان الکتریکی در ناحیه ذاتی بدون گیت افزایش می یابد. نمودارهای نمایش داده شده در شکل ۶ مؤید این مطلب است. در این شکل توزیع میدان الکتریکی برای افزاره های نوع n و p به ترتیب به ازای $V_S = -3.93$ V و $V_S = +4.93$ V در سه ولتاژ گیت $V = 0.1, 0.2, 0.3$ V نمایش داده شده است. لازم به ذکر است که بایاس سورس در هر افزاره برابر با ولتاژ شکست آن افزاره به ازای $|V_G| = 0.5$ V اختیار شده و در واقع در این آی ماس ها ولتاژ های سورس و گیت مختلف عالمه هستند. در نتیجه با افزایش اندازه ولتاژ گیت (سورس) اندازه $|V_{GS}|$ افزایش می یابد. این امر باعث افزایش میدان الکتریکی در ناحیه ذاتی بدون گیت می شود و در نتیجه بایاس $|V_{DS}|$ کوچک تر برای رسیدن به شکست لازم است.

۴-۲ مشخصه های جریان $I_D - V_G$

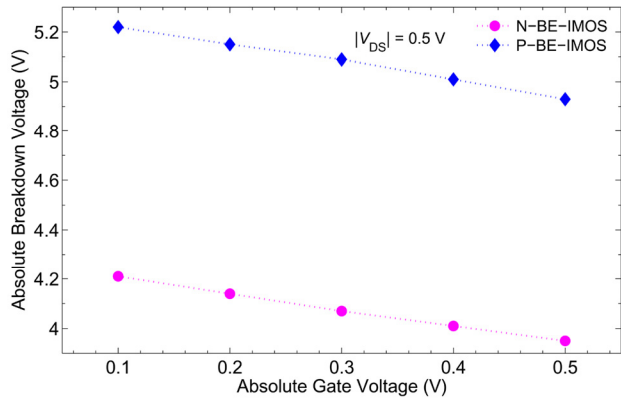
در این زیربخش برای بررسی مشخصه های $I_D - V_G$ افزاره های ناهمگون نوع n و p ، ابتدا نوارهای انرژی ساختار پیشنهادی برای دو نوع n و p به ترتیب تحت بایاس های $V_{DS} = -5/18$ V و $V_{DS} = 4/2$ V برای سه بایاس $V = 0.1, 0.2, 0.3$ V محاسبه و در شکل ۷ نشان داده شده است. همان طور که در این شکل مشاهده می شود حامل ها هنگام حرکت از سورس به سمت گیت، شکاف انرژی کوچک تری در مقابل خود می بینند و با توجه به انرژی دریافت شده از میدان، زوج الکترون-حرفره تولید می کنند. با نزدیک شدن به لبه گیت و کاهش مداوم شکاف انرژی با انرژی کمتری می توان زوج الکترون-حرفره تولید کرد.

نمودارهای $I_D - V_G$ برای دو ساختار ناهمگون نوع n و نوع p برای یک نقطه کار به فاصله $V = 0.1$ از ولتاژ شکست در شکل ۸ رسم



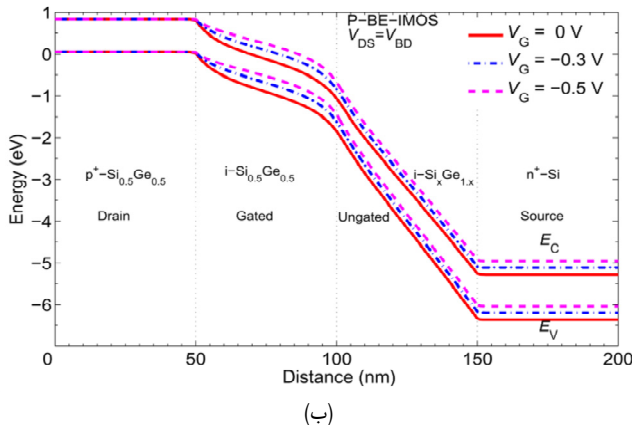
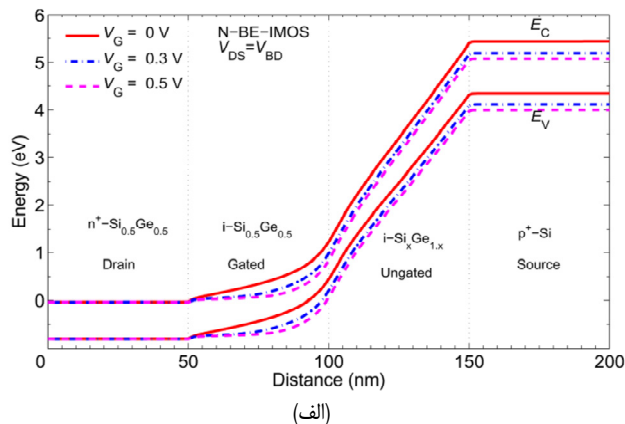
(ب)

شکل ۴: نمودار مقایسه نمودار میدان الکتریکی در آی ماس ناهمگون (ممتد) با نمودارهای مشابه در آی ماس های همگون $Si_{0.5}Ge_{0.5}$ (خط پیچن) و Si (خط نقطه) به ازای بایاس های $V_G = 0$ و $|V_{DS}| = |V_{BD}|$ برای (الف) نوع n و (ب) نوع p .

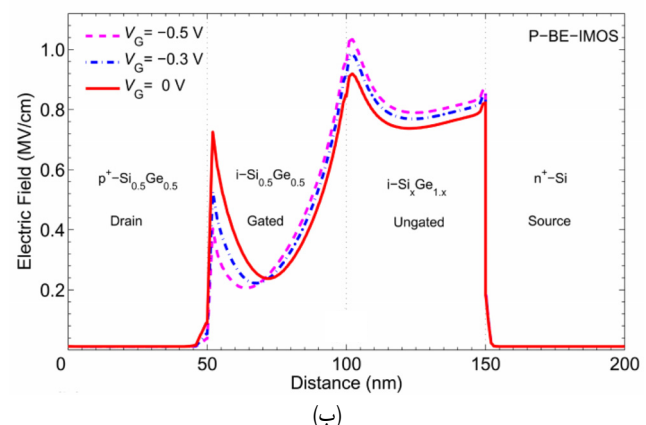
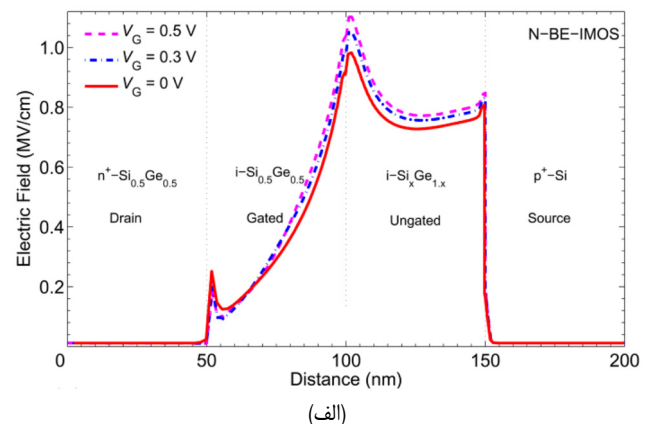


شکل ۵: نمودار تغییرات ولتاژ شکست بر حسب ولتاژ گیت اعمال شده به آی ماس های ناهمگون نوع n (دایره توپر) و نوع p (لوگز توپر).

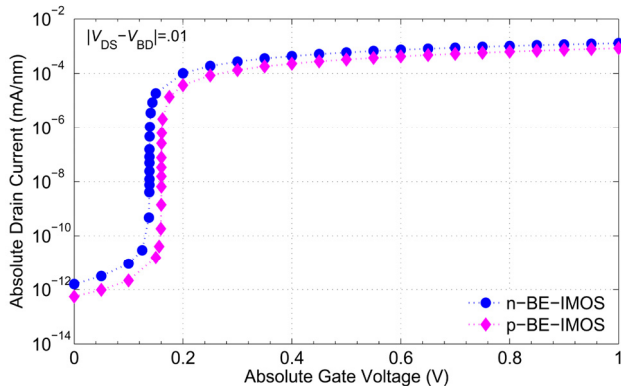
میدان های الکتریکی در ناحیه ذاتی بدون گیت برای آی ماس ناهمگون بیش از میدان الکتریکی برای هر دو آی ماس همگون است اما تفاوت میدان های الکتریکی برای دو آی ماس همگون در ناحیه مذکور، علی رغم گاف انرژی های متفاوت چندان زیاد نیست. به ازای یک بایاس V_{DS} معین، هرچه میدان در ناحیه ذاتی بدون گیت بزرگ تر باشد، حامل ها پرانرژی تر هستند و احتمال وقوع یونش برخورده بیشتر است. لذا برای افزارهایی که میدان در آن بزرگ تر است ولتاژ شکست زودتر (به ازای بایاس کوچک تر) حاصل می شود. از طرف دیگر با مقایسه ولتاژ شکست آی ماس ناهمگون نوع p با ولتاژ شکست آی ماس همگون نوع p از جنس $Si_{0.5}Ge_{0.5}$ در میانه باییم که تفاوت آنها چندان زیاد نیست. شکل ۳- ب توزیع میدان های الکتریکی در سه افزاره نوع p را مقایسه می کند. در این شکل دیده می شود که میدان الکتریکی در ناحیه ذاتی بدون گیت برای افزاره های همگون $p-Si$ و $p-Si_{0.5}Ge_{0.5}$ اختلاف ناچیزی دارند. از طرفی برخلاف آنچه در مقایسه افزاره های نوع n مشاهده شد میدان الکتریکی در ناحیه ذاتی بدون گیت افزاره ناهمگون نوع p همواره از میدان الکتریکی در ساختار $p-Si_{0.5}Ge_{0.5}$ بزرگ تر نیست بلکه در بخشی از ناحیه ذاتی بدون گیت در مجاورت سورس برای افزاره ناهمگون نوع p بزرگ تر و در باقیمانده این ناحیه به ویژه در لبه گیت برای آی ماس $p-Si_{0.5}Ge_{0.5}$ بزرگ تر است. این تفاوت ناشی از اثر مهندسی نوار انرژی است. بنابراین حامل هایی که از سورس وارد کanal می شوند برای آی ماس ناهمگون نوع p در نزدیکی سورس و برای $p-Si_{0.5}Ge_{0.5}$ در نزدیکی گیت نیروی بیشتری از میدان دریافت می کنند و باعث یونش برخورده می شوند. در نتیجه از این لحاظ یکی بر دیگری برتری ندارد و



شکل ۷: مقایسه نمودار نوارهای انرژی افزاره ناهمگون (خط ممتد) با آی ماس همگون $Si_{x}Ge_{1-x}$ (خطچین)، (الف) نوع n و (ب) نوع p به ازای بایاس های 0.5 V و -0.5 V برای نوی $V_{DS} = V_{BD}$ و $|V_G| = 0$.



شکل ۸: مقایسه نمودار توزیع میدان الکتریکی در افزاره ناهمگون به ازای سه 0.5 V و -0.5 V برای نوی n و (الف) $V_{DS} = 3.93$ V برای نوی p و (ب) $V_{DS} = -4.93$ V برای نوی p .



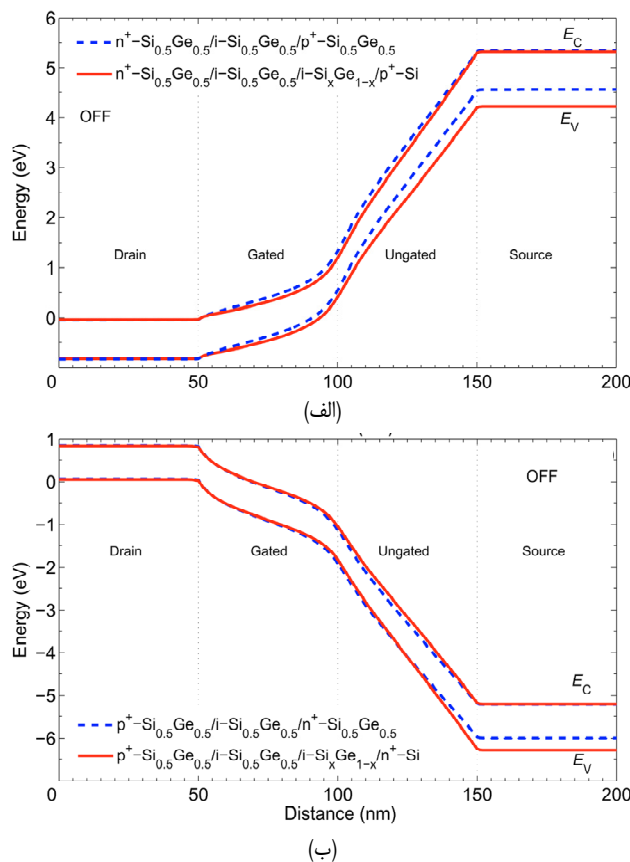
شکل ۸: منحنی جریان درین بر حسب ولتاژ گیت برای ساختارهای آی ماس ناهمگون نوع n و p .

شکست کاهش می‌یابد و در نتیجه اندازه ولتاژ نقطه کار افزاره نیز به تناسب کاهش می‌یابد. بنابراین به ازای $V_S - V_{BD} = 0.2$ V ، ولتاژ سورس باید $V_S = -0.25$ V باشد. همان طور که دیده می‌شود ولتاژ سورس در آی ماس ناهمگون کمتر است. از آنجا که در این ساختار Si با گاف انرژی بزرگ‌تر در سمت سورس قرار گرفته، جریان خاموش آن حتی از ساختار همگون $Si_{x}Ge_{1-x}$ نیز کمتر است.

شده است. اندازه شبیه جریان زیرآستانه محاسبه شده برای آی ماس ناهمگون نوع p و یکسان و برابر 2.5 mV/dec است. مقادیر ولتاژهای آستانه و جریان‌های روشن این در این ماس با مقادیر متضاد برای آی ماس‌های همگون $Si_{x}Ge_{1-x}$ و $n(p)-Si_{x}Ge_{1-x}$ در جدول ۲ مقایسه شده و لازم به ذکر است جریان روشن به ازای $|V_G| = |V_T| + 0.6$ استخراج شده است.

۴- جریان خاموش

جریان خاموش بنا به تعریف، اندازه جریان درین به ازای $V_{GD} = 0$ برای بایاس نقطه کار V_{DS} است. در این زیربخش به تأثیر اندازه بایاس نقطه کار روی اندازه جریان خاموش آی ماس ناهمگون پیشنهادی نوع $n(p)-Si_{x}Ge_{1-x}$ در مقایسه با آی ماس همگون $n(p)-Si_{x}Ge_{1-x}$ می‌پردازیم. نتایج حاصل از محاسبات در شکل ۹ مقایسه شده است. این مقایسه نشان می‌دهد به طور کلی در یک آی ماس هر قدر فاصله بایاس نقطه کار از ولتاژ شکست بیشتر شود (یعنی $|V_{BD} - V_S|$ افزایش یابد) اندازه جریان خاموش کاهش می‌یابد و علاوه بر این در این مقایسه ملاحظه می‌شود به ازای $|V_{BD} - V_S|$ معین جریان خاموش برای آی ماس ناهمگون نوع $n(p)-Si_{x}Ge_{1-x}$ کمتر از اندازه متضاد برای آی ماس همگون $n(p)-Si_{x}Ge_{1-x}$ با ابعاد مشابه است. این تفاوت به خاطر این است که پدیده غالب در تعیین جریان خاموش آی ماس پدیده تونلزنی نوار به نوار است. هرچه گاف انرژی مواد تشکیل‌دهنده در طرف سورس کوچک‌تر باشند احتمال وقوع تونلزنی نوار به نوار بیشتر و در نتیجه اندازه جریان خاموش بزرگ‌تر می‌شود. از طرف دیگر هرچه گاف انرژی کوچک‌تر باشد احتمال وقوع پدیده یونش برخوردی در یک بایاس معین بیشتر و در نتیجه اندازه ولتاژ



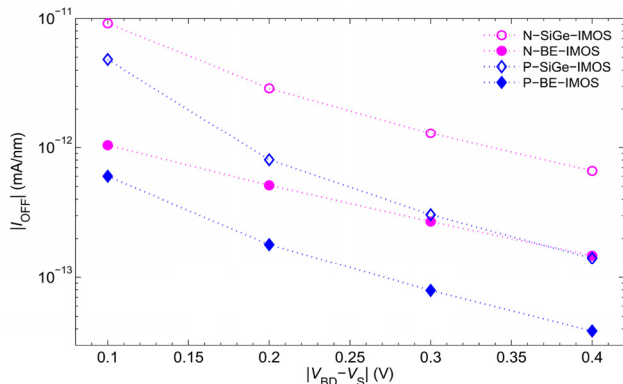
شکل ۱۰: مقایسه نمودار نواهای انرژی آی ماس ناهمگون (خط متمد) با آی ماس همگون n - p (خطچین) در حالت خاموش (الف) نوع n و (ب) نوع p .

جنس Si است که گاف انرژی آن از گاف $Si_x Ge_{1-x}$ (برای $0 \leq x < 1$) بزرگ‌تر است. بنابراین حامل‌ها در تمام نواحی ساختار پیشنهادی جدید که احتمال تونل‌زنی در آنها وجود دارد نسبت به حامل‌ها در آی ماس همگون $Si_x Ge_{1-x}$ با سد پتانسیل پهن‌تری روبرو می‌شوند. این امر احتمال تونل‌زنی نوار به نوار را در آی ماس ناهمگون کاهش می‌دهد. در نتیجه، کوچک‌سازی ساختار آی ماس ناهمگون نسبت به آی ماس همگون $Si_x Ge_{1-x}$ با محدودیت کمتری روبرو خواهد شد.

کاهش احتمال تونل‌زنی نوار به نوار باعث کاهش جریان خاموش آی ماس ناهمگون خواهد شد. جریان خاموش آی ماس ناهمگون ($n(p)$) از جریان خاموش آی ماس همگون $Si_x Ge_{1-x}$ مشابه چهار (سه) مرتبه کوچک‌تر است اما جریان روش آی ماس ناهمگون نوع n از جریان همتای همگون خود $\approx 8\%$ بیشتر است در حالی که جریان روش آی ماس ناهمگون نوع p از جریان همتای همگون خود $\approx 14\%$ کمتر است.

مراجع

- [1] F. Mayer, C. Le Royer, G. Le Carval, L. Clavelier, and S. Deleonibus, "Experimental and TCAD investigation of the two components of the impact ionization MOSFET (IMOS) switching," *IEEE Electron Dev. Lett.*, vol. 28, no. 7, pp. 619-621, Jul. 2007.
- [2] K. Gopalakrishnan, P. B. Griffin, and J. D. Plummer, "I-MOS: a novel semiconductor device with a subthreshold slope lower than kT/q ," in *Proc. Int. Electron Devices Meeting, IEDM'02*, pp. 289-292, 8-11 Dec. 2002.
- [3] K. Gopalakrishnan, P. B. Griffin, and J. D. Plummer, "Impact ionization MOS (I-MOS)-part i: device and circuit simulations," *IEEE Trans. Electron Devices*, vol. 52, no. 1, pp. 69-76, Jan. 2005.
- [4] W. Y. Choi, *Impact-Ionization Metal-Oxide-Semiconductor (I-MOS) Devices Using Avalanche Breakdown Mechanism*, Ph.D. Dissertation, College of Eng, Seoul National Univ., 2006.
- [5] E. H. Toh, G. H. Wang, L. Chan, G. Samudra, and Y. C. Yeo, "A double-spacer I-MOS transistor with shallow source junction and



شکل ۹: مقایسه تغییرات جریان خاموش، بر حسب $|V_{BD} - V_S|$ برای آی ماس‌های ناهمگون و همگون n - p .

باید توجه داشت که در یک آی ماس فرایнд تونل‌زنی نوار به نوار در لبه سورس و داخل ناحیه ذاتی بدون گیت رخ می‌دهد. در ساختار ناهمگون، سورس از جنس Si است که به علت گاف انرژی بزرگ‌تر نسبت به $Si_x Ge_{1-x}$ تونل‌زنی نوار به نوار را در لبه سورس کاهش می‌دهد. گاف انرژی در ناحیه ذاتی بدون گیت در تونل‌زنی نوار به نوار و نرخ تولید در اثر یونش برخوردار مؤثر است. به گونه‌ای که افزایش گاف انرژی در این ناحیه اگرچه تونل‌زنی نوار به نوار را بهبود می‌بخشد اما نرخ تولید حامل را کاهش می‌دهد. بنابراین صرفاً تغییر ماده در این ناحیه با یک گاف انرژی ثابت نمی‌تواند مؤثر باشد. در ساختار ناهمگون گاف انرژی $Si_x Ge_{1-x}$ (ناحیه ذاتی بدون گیت) کمی از گاف Si کمتر و از گاف $Si_x Ge_{1-x}$ بیشتر در نظر گرفته شده است. اولی باعث افزایش نرخ تولید در اثر یونش برخورداری و دومی باعث کاهش احتمال تونل‌زنی نوار به نوار می‌شود.

در شکل ۱۰ نمودار نوار انرژی ساختار ناهمگون و با نوار انرژی آی ماس همگون n - p در حالت خاموش مقایسه شده‌اند. در این شکل به خوبی دیده می‌شود که در ساختار ناهمگون گاف انرژی در سراسر ناحیه ذاتی بدون گیت (از لبه سورس تا لبه گیت) از گاف انرژی ساختار آی ماس $Si_x Ge_{1-x}$ بزرگ‌تر است. بنابراین حامل‌ها با سد پتانسیل پهن‌تری مواجه می‌شوند و احتمال این که بتوانند با دریافت انرژی از میدان از نواری به نوار دیگر تونل بزنند کاهش می‌یابد. به این ترتیب جریان خاموش در آی ماس ناهمگون کوچک‌تر است.

شبیه‌سازی‌ها با استفاده از نرم‌افزار ATLAS انجام شده است. از آنجایی که نتایج تجربی گذشته صحت الگوی^۱ میدان موضعی^۲ را برای یونش برخوردار در ابعاد استفاده شده در این ساختار تأیید کرده‌اند [۱۴]، در این شبیه‌سازی‌ها نیز از این الگو استفاده شده است که در آن ضرایب یونش برخورداری به صورت نمایی به میدان الکتریکی وابسته‌اند. همچنین تونل‌زنی نوار به نوار نیز در الگوها لحاظ شده است.

۵- نتیجه‌گیری

در این مقاله، ساختار جدید آی ماس با نوار انرژی مهندسی شده ارائه شد که در آن با مهندسی گاف انرژی از طریق استفاده از مواد با گاف انرژی متفاوت، ولتاژ شکست بهود یافته است. این ساختار به گونه‌ای تعریف شده که ولتاژ شکست آن در نوع n از ماده با گاف انرژی کوچک‌تر نیز کمتر است. با مهندسی نوار انرژی در ساختار ناهمگون، از قابلیت‌های ذاتی دو ماده استفاده مطلوب شده است. در آی ماس ناهمگون سورس از

1. Model
2. Local-Field

محمد کاظم مروج فرشی مدارک کارشناسی و کارشناسی ارشد خود را در رشته فیزیک به ترتیب در سال‌های ۱۳۵۵ و ۱۳۵۷ از دانشگاه‌های صنعتی شریف و کالیفرنیای جنوبی (USC) اخذ کرد. پس از آن برای ادامه تحصیل در زمینه‌افزارهای نیم‌رسانا از مهرماه ۱۳۵۷ به دانشکده مهندسی برق دانشگاه کالیفرنیا در سانتا‌باربارا (UCSB) وارد و مشغول به ادامه تحصیل شد. قبلاً از اتمام دوره دکتری در اسفند ماه ۱۳۵۸ به ایران بازگشت. در اردیبهشت ۱۳۵۹ در بخش مایکروویو مرکز تحقیقات مخابرات ایران مشغول به کارشد. نامبرده درجه دکتری خود را در زمینه ساخت افزارهای نیم‌رسانا در اردیبهشت ۱۳۶۶ از دانشگاه نیوساوث‌ویلز (UNSW) اخذ کرد. دکتر مروج فرشی در پانزده خرداد همان سال به ایران مراجعت کرد و با مرتبه استادیاری به جرگه‌ی اعضای هیأت علمی دانشگاه پیوست.

نامبرده، هم‌اینک با مرتبه استاد تمام پایه ۴۱ در گروه الکترونیک دانشکده مهندسی برق و کامپیوتر دانشگاه تربیت مدرس به تدریس و پژوهش در زمینه‌های نانوالکترونیک و نانوفوتونیک مشغول است.

دکتر مروج فرشی در سال تحصیلی ۱۳۸۰-۸۱ به عنوان استاد نمونه کشوری نائل آمد. نامبرده یک مجموعه چهار جلدی کتاب در زمینه افزارهای نیم‌رسانا با عنوان‌های «مبانی نیمه هادی»، «دیود پیوندی pn»، «ترانزیستور دوقطبی پیوندی» و «ادوات FET» ترجمه کرده است، که همه توسط مؤسسه انتشارات علمی دانشگاه صنعتی شریف منتشر و چندین بار تجدید چاپ شده‌است. کتاب دیگری که دکتر دیگری که دکتر مروج فرشی ترجمه کرده و توسط همان انتشارات منتشر شده‌است «الکترونیک لیزر» نام دارد که جایزه بهترین کتاب ترجمه سال ۱۳۸۲ در زمینه علوم کاربردی و مهندسی را به خود اختصاص داده است.

دکتر مروج فرشی سمت‌های دبیری کمیته‌های علمی کنفرانس‌های متعددی از جمله کنفرانس مهندسی برق ایران و کنفرانس اپتیک و فotonیک ایران رادر چند دوره مختلف بر عهده داشته است.

دکتر مروج فرشی عضو ارشد انجمن مهندسین برق و الکترونیک (IEEE) و نیز عضو ارشد انجمن اپتیک آمریکا (OSA) است. نامبرده یکی از بنیان‌گذاران انجمن اپتیک و فotonیک ایران است و از اعضای اولین دوره هیأت مدیره این انجمن بوده است و در حال حاضر رئیس هیأت مدیره این انجمن است.

مرتضی فتحی‌پور مدرک دکترای مهندسی برق و الکترونیک خود را در حوزه الکترونیکی حالت جامد در سال ۱۳۶۶ از دانشگاه ایالتی کلرادو اخذ نمود. وی در حال حاضر دانشیار دانشکده برق و کامپیوتر دانشگاه تهران و نیز بیانگذار و سریرست آزمایشگاه‌های شبیه سازی و مدل سازی افزاره و سامانه‌های الکترومکانیکی ریز و بسیار ریزاست.

- [6] E. H. Toh, G. H. Wang, L. Chan, G. Q. Lo, G. Samudra, and Y. C. Yeo, "I-MOS transistor with an elevated silicon-germanium impact-ionization region for bandgap engineering," *IEEE Electron Device Lett.*, vol. 29, no. 2, pp. 189-191, Feb. 2008.
- [7] U. Abelein, M. Born, K. K. Bhuwalka, M. Schindler, M. Schmidt, T. Sulima, and I. Eisele, "A novel vertical impact ionization MOSFET (I-MOS) concept," in *Proc. 5th Int. Conf. Microelectronics*, pp. 121-123, Belgrade, Serbia and Montenegro, 14-17 May 2006.
- [8] E. H. Toh, et al., "A novel CMOS compatible L-shaped impact-ionization MOS (LI-MOS) transistor," in *Proc. Int. Electron Devices Meeting, IEDM'05*, pp. 951-954, 5-5 Dec. 2005.
- [9] F. A. Hassani, M. Fathipour, and M. Mehran, "A comparison study between double and single gate p-IMOS," *AFRICON*, Windhoek, 7 pp., 26-28 Sept. 2007.
- [10] D. Sarkar, N. Singh, and K. Banerjee, "A novel enhanced electric-field impact-ionization MOS transistor," *IEEE Electron Device Lett.*, vol. 31, no. 11, pp. 1175-1177, Nov. 2010.
- [11] H. Nematian, M. Fathipour, and M. Nayeri, "A novel impact ionization MOS (I-MOS) structure using a silicon-germanium/silicon heterostructure channel," in *Proc. Int. Conf. on Microelectronics*, pp. 228-231, 14-17 Dec. 2008.
- [12] W. Y. Choi, J. Y. Song, J. D. Lee, Y. J. Park, and B. G. Park, "A novel biasing scheme for I-MOS (impact-ionization MOS) devices," *IEEE Trans. Nanotechnology*, vol. 4, no. 3, pp. 322-325, May 2005.
- [13] F. Mayer, C. L. Royer, G. L. Carval, L. Clavelier, and S. Deleonibus, "Static and dynamic TCAD analysis of IMOS performance: from the single device to the circuit," *IEEE Trans. Electron Devices*, vol. 53, no. 8, pp. 1852-1857, Aug. 2006.
- [14] K. Gopalakrishnan, R. Woo, C. Jungemann, P. B. Griffin, and J. D. Plummer, "Impact ionization MOS (I-MOS)-part ii: experimental results," *IEEE Trans. Electron Devices*, vol. 52, no. 1, pp. 77-84, Jan. 2005.

حمیده گدازگر در سال ۱۳۸۷ مدرک کارشناسی مهندسی برق خود را از دانشگاه مازندران و در سال ۱۳۹۰ مدرک کارشناسی ارشد مهندسی برق خود را از دانشگاه تربیت مدرس دریافت نمود. وی در سال‌های ۱۳۹۱ و ۱۳۹۲ در دانشگاه علوم و فنون مازندران مشغول به تدریس بوده است. زمینه‌های تحقیقاتی مورد علاقه ایشان عبارتند از: افزارهای نیمه‌هادی نانوساختار، افزارهای نانوفوتونیک مبتنی بر نانولوله‌های کربنی، سلول‌های خورشیدی.

خانم گدازگر در حال حاضر به عنوان مدیر فنی در گروه روشنایی گلتور مشغول به فعالیت می‌باشد.